

前言

本文是笔者阅读[1]过程中，遇到了关于Thin Plate Spline[5]相关的知识，因而查找若干资料学习后得到的一些笔记，本文主要参考[2,3,4]，希望对大家有所帮助。如有谬误，请联系指出，转载请联系作者并注明出处。

▽ 联系方式:

e-mail: FesianXu@gmail.com

QQ: 973926198

github: <https://github.com/FesianXu>

薄板样条插值

薄板样条插值 (Thin Plate Spline, TPS) 是插值方法的一种，是常用的2D插值方法。假如给定两张图片中一些相互对应的控制点，如何将其中一个图片进行特定的形变，使得其控制点可以与另一张图片的控制点重合，如图1.1所示。当然，提供插值的方法也特别的多，TPS是其中一种技术，其有着一个基本假设

如果用一个薄钢板（只是一个比喻）的形变来模拟这种2D形变，在确保所有控制点能够尽可能匹配的情况下，怎样才能使得钢板的弯曲量最小。

几乎所有的生物有关的形变都是可以用TPS来近似，因此TPS也经常用于脸部关键点形变等相关的应用[1]。

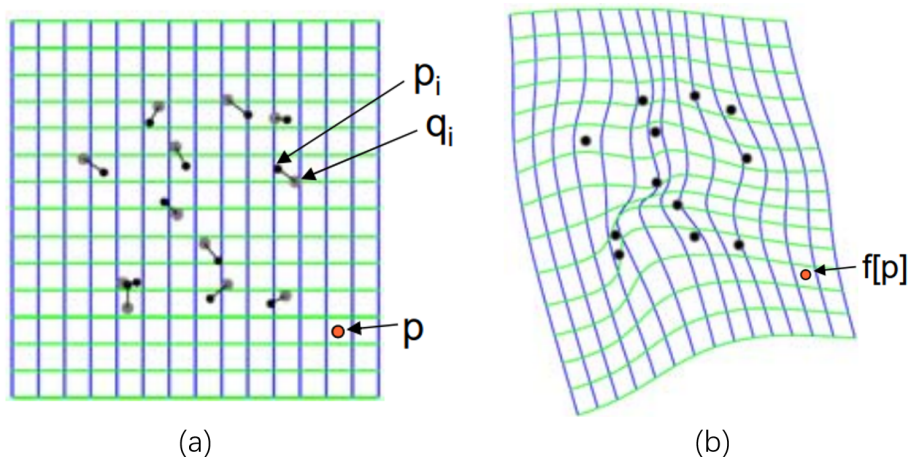


Fig 1.1 该图演示了TPS的基本任务，(a)图的 p 点表示的是移动之前的点，而 q 点表示的是移动之后的点，若干控制点产生了这种移动之后，势必整个

平面发生了扭曲，其结果如**(b)**所示，**TPS**的目的就是拟合得到每个曲线上的点的变化。

为了描述整个插值过程，按照我们刚才所说的，需要定义两个项，一个是拟合项 \mathcal{E}_Φ ，测量将源点变形后距离目标点的大小；第二个是扭曲项 \mathcal{E}_d ，测量曲面的扭曲大小。那么有总的损失函数：

$$\mathcal{E} = \mathcal{E}_\Phi + \lambda \mathcal{E}_d \quad (1.1)$$

其中的 λ 为权值系数，控制允许非刚体形变发生的程度，不同的 λ 对于整个拟合效果的影响如图1.2所示。

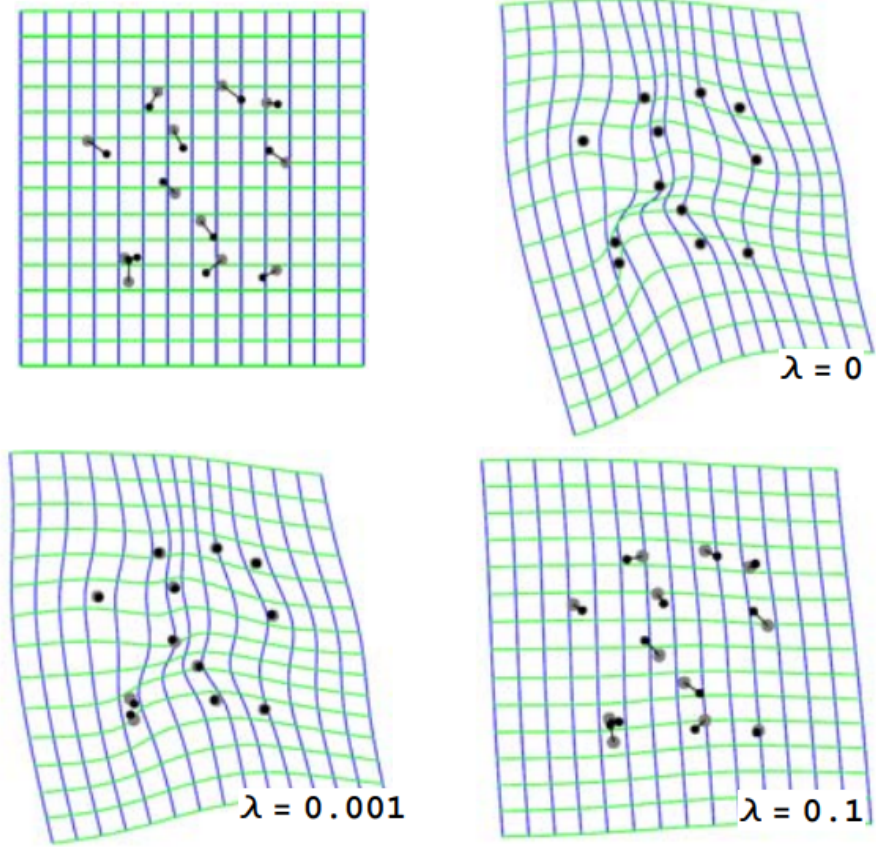


Fig 1.2 不同的权重系数对于拟合效果的影响，越大的权重变形就越接近仿射变换。

其中有：

$$\mathcal{E}_\Phi = \sum_{i=1}^N \|\Phi(p_i) - q_i\|^2 \quad (1.2)$$

$$\mathcal{E}_d = \int \int_{\mathbb{R}^2} \left(\left(\frac{\partial^2 \Phi}{\partial x^2} \right)^2 + 2 \left(\frac{\partial^2 \Phi}{\partial x \partial y} \right)^2 + \left(\frac{\partial^2 \Phi}{\partial y^2} \right)^2 \right) dx dy \quad (1.3)$$

其中的 N 为控制点的数量，式子(1.2)很容易理解，是源目标经过形变函数 Φ 之后和目标之间的距离；而式子(1.3)是曲面扭曲的能量函数，由文献[6]中给出，最小化式子(1.1)的结果，可以推导出形变函数的唯一闭式解结果为：

$$\Phi(p) = \mathbf{M} \cdot p + m_0 + \sum_{i=1}^N \omega_i U(\|p - p_i\|) \quad (1.4)$$

其中 p 为表面上的任意一个点，有 $p = (x, y)^T$ ， p_i 是对应域的控制点，而 $\mathbf{M} = (m_1, m_2)$ ，而这里的 $U(\cdot)$ 为径向基函数，表示某个表面上的点的变形会受到所有控制点变形的影响（当然，不同控制点的影响程度不一样），有

$$U(x) = r^2 \log r \quad (1.5)$$

而 ω_i 表示对不同径向基的加权。如Fig 1.3所示，如果我们假设每个控制点都对应一个高度，也就是 $(x_i, y_i) \rightarrow v_i$ ，也就是说控制点是三维空间坐标系中的自变量，而其高度是因变量，那么我们可以再继续分析式子(1.4)中的第一项和第二项。

我们发现第一项其实是尝试用一个平面 $y = \mathbf{M} \cdot p + m_0$ 去拟合所有的目标控制点，当然这个拟合肯定不够好，因此用第二项尝试在该平面的基础上去弯曲（当然是尽可能小的弯曲），从而达到更好的拟合效果，如Fig 1.3所示。此时有未知参数 $\mathbf{M} \in \mathbb{R}^2$, $m_0 \in \mathbb{R}$ ，和 $\omega_i, i \in [1, N]$ ，因此一共有 $1 + 2 + N$ 个参数，其中 $D = 2$ 是维度， N 是控制点数目。

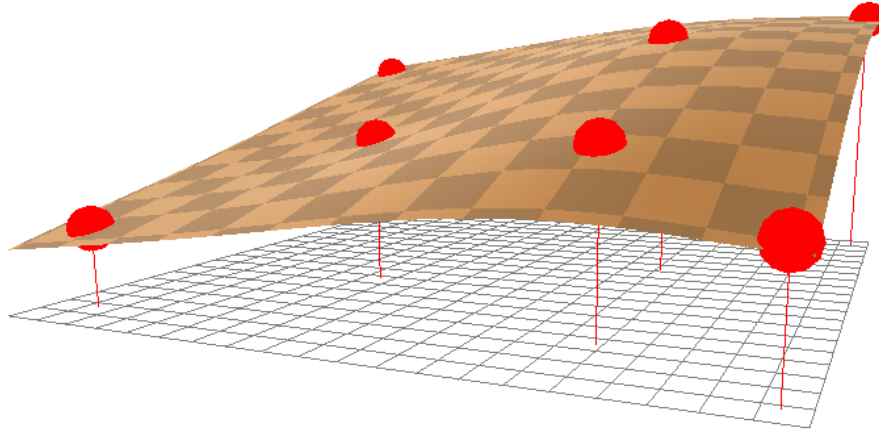


Fig 1.3 最小程度地扭曲平面，使得该曲面可以符合所有的控制点，而扭曲程度最小。

我们为了求解形式一般化，用以下矩阵代表之前谈到的数值，有：

$$\mathbf{P} = \begin{bmatrix} 1 & x_1 & y_1 \\ 1 & x_2 & y_2 \\ \vdots & \vdots & \vdots \\ 1 & x_n & y_n \end{bmatrix} \quad (1.6)$$

其中每一行代表一个控制点坐标，该矩阵称之为控制点矩阵。

$$\mathbf{Y} = \begin{bmatrix} v_1 \\ v_2 \\ \vdots \\ v_n \\ 0 \\ 0 \\ 0 \end{bmatrix} \quad (1.7)$$

该矩阵称之为高度矩阵，后面三个0是为了形式统一填充的。

$$\mathbf{K} = \begin{bmatrix} U(r_{11}) & U(r_{12}) & \cdots \\ U(r_{21}) & U(r_{22}) & \cdots \\ \cdots & \cdots & U(r_{NN}) \end{bmatrix} \quad (1.8)$$

其中 $r_{ij} = \|p_i - p_j\|$ 表示两个控制点之间的距离。令矩阵 \mathbf{L} 为：

$$\mathbf{L} = \begin{bmatrix} \mathbf{K} & \mathbf{P} \\ \mathbf{P}^T & \mathbf{0} \end{bmatrix} \in \mathbb{R}^{(N+3) \times (N+3)} \quad (1.9)$$

那么由式子(1.4)和 $\Phi(p_i) = v_i$ ，有：

$$\mathbf{Y} = \mathbf{L}(\Omega|m_0, m_1, m_2)^T \quad (1.10)$$

其中 $\Omega = (\omega_1, \dots, \omega_N)$ 。其中的后三行引入了一组对参数的约束（虽然我并不知道这组约束的含义，有了解的朋友请在评论区赐教，谢谢）：

$$\begin{aligned} \sum_{i=1}^N \omega_i &= 0 \\ \sum_{i=1}^N x_i \omega_i &= 0 \\ \sum_{i=1}^N y_i \omega_i &= 0 \end{aligned} \quad (1.11)$$

那么从式子(1.10)我们有：

$$(\Omega|m_0, m_1, m_2)^T = \mathbf{L}^{-1} \mathbf{Y} \quad (1.12)$$

当然也可以通过解线性方程组(1.10)得到参数组 $(\Omega|m_0, m_1, m_2)^T$ ，一旦这个参数组计算得到，那么我们的插值函数 $\Phi(p)$ 也就已知了，只要给定平面上任意一个点，就能通过插值函数将其插值到目标平面上。

变形(deformation)

这里介绍TPS的一个主要应用，对图片的控制点进行偏移，以达到通过控制点对图像进行特定形变的目的。如Fig 2.1所示，通过拉拽嘴角的控制点（即是蓝色点），使得周围的像素，比如A点移动到了A'点，此时存在位移 $(\Delta x, \Delta y)$ ，此时我们需要插值这个位移。当然，对应控制点之间的移动偏移是可以知道的，记为 $\Delta \mathbf{S} = \{(\Delta x_1, \Delta y_1), \dots, (\Delta x_N, \Delta y_N)\}$ ，我们要根据已知的控制点偏移去插值图片上其他任意像素点的偏移。

不妨我们把这两个位移的分量隔离开来，不考虑两个维度之间的相关性，那么可以将第一章提到的“高度” v_i 在这里理解成每一个位移的分量，那么我们有两个插值函数需要预测，即是：

$$\begin{aligned} \Delta x(p) &= \Phi(p)_{\Delta x} \\ \Delta y(p) &= \Phi(p)_{\Delta y} \end{aligned} \quad (2.1)$$

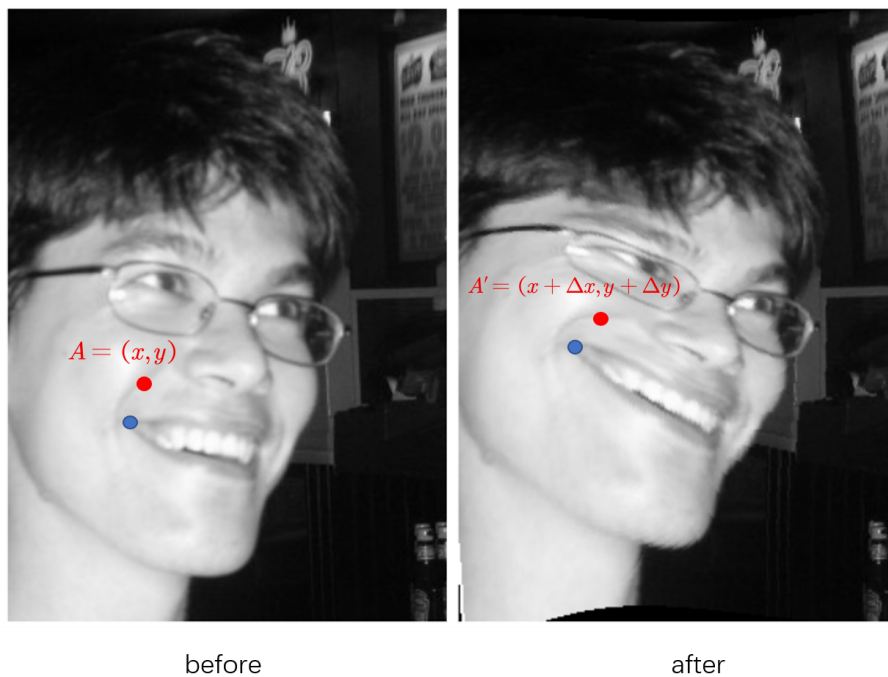


Fig 2.1 通过拉拽嘴角和眼角的控制点，可以实现图像的内容形变。

假如只是选定6个控制点，分别是图片的四个角落，右眼和右侧嘴角，如图Fig 2.2所示。

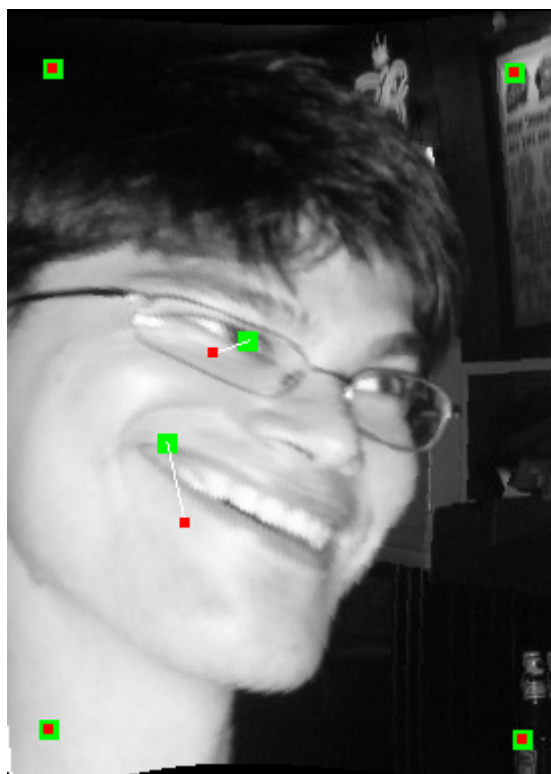
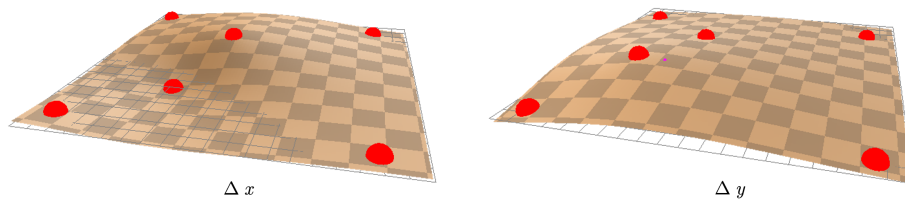


Fig 2.2 红色点表示移动之前的控制点，绿色点表示移动后的控制点，我们发现只是移动了右边眼睛和右边嘴角。



Reference

- [1]. Siarohin, A., Lathuilière, S., Tulyakov, S., Ricci, E., & Sebe, N. (2019). First order motion model for image animation. In *Advances in Neural Information Processing Systems* (pp. 7137-7147).
- [2]. <http://profs.etsmtl.ca/hlombaert/thinplates/>
- [3]. <https://www.jianshu.com/p/2cc189dfbcc5#fn3>
- [4]. https://www.cse.wustl.edu/~taoju/cse554/lectures/lect07_Deformation2.pdf
- [5]. Bookstein, F. L. (1989). Principal warps: Thin-plate splines and the decomposition of deformations. *IEEE Transactions on pattern analysis and machine intelligence*, 11(6), 567-585.
- [6]. Kent, J. T. and Mardia, K. V. (1994a). The link between kriging and thin-plate splines. In: *Probability, Statistics and Optimization: a Tribute to Peter Whittle* (ed. F. P. Kelly), pp 325–339. John Wiley & Sons, Ltd, Chichester. page 282, 287, 311